

کانی شیمی و شرایط دما- فشار دگرگونی پسروندہ در مرمرهای دولومیتی الیوین دار مجموعه‌ی دگرگون تکاب- شمال‌غرب ایران

رباب حاجی علی اوغلی

گروه زمین‌شناسی، دانشکده علوم طبیعی، دانشگاه تبریز

(دریافت مقاله: ۸۹/۵/۴، نسخه نهایی: ۸۹/۱۰/۱۷)

چکیده: مجموعه‌ی تکاب به سن پرکامبرین از انواع سنگ‌های دگرگون شامل متابازیت‌ها، سنگ‌های متاولترامافیک، سیلیکات‌های آهکی و مرمرها از رخساره‌ی شیست سبز تا رخساره‌ی گرانولیت تشکیل شده است. سنگ‌های دگرگون اوج طی بالا آمدگی پوسته به دلیل کاهش فشار، دما و تاثیر شاره‌های غنی از آب به صورت پسروندہ دگرگون شده‌اند. رخداد دگرگونی پسروندہ در مرمرهای دولومیتی الیوین دار باعث انتقال آن‌ها از رخساره‌ی گرانولیت به رخساره‌ی آمفیبولیت شده است. برخی از شواهد کانی‌شناسی و بافتی دگرگون پسروندہ در مرمرهای دولومیتی تکاب عبارتند از: (a) شکل‌گیری کانی‌های دمای پایین و آبدار مانند ترمولیت، کلینوکلر، (±) تیتانیت و (±) اپیدوت، (b) تشکیل مجموعه‌ی کانی‌های ترمولیت + دولومیت به صورت شبه ریخت حاصل از ناپایداری الیوین و (c) تیتانیت با بافت هاله‌ای پیرامون ایلمینیت. دما و فشار دگرگونی پسروندہ در مرمرهای دولومیتی با استفاده از ترکیب شیمی کانی‌ها دگرگونی پسروندہ و واکنش‌های تعادلی به ترتیب در حدود $650 \pm 25^\circ\text{C}$ و $65 \pm 5\text{kbar}$ محاسبه شد. بهدلیل نبود ترکیب شیمیایی مناسب در مرمرهای دولومیتی تکاب، ترمولیت پسروندہ در شرایط دگرگونی رخساره آمفیبولیت پایدار بوده است. کلینوکلر پسروندہ در دولومیت مرمرهای دارای ناخالصی Al_2O_3 در رخساره‌ی آمفیبولیت با دما بالا ظاهر شده‌اند.

واژه‌های کلیدی: مرمرهای دولومیتی، شکل‌گیری دگرگونی پسروندہ، دما- فشار-سنجه، تکاب، شمال‌غرب ایران.

های- سیلیکات‌آهکی و مرمر، ویژگی‌های ژئوشیمیایی و

مقدمه

ایزوتوپی بسیار مشابه با زون ایران مرکزی دارد [۳].

مجموعه‌ی دگرگونی تکاب در شمال‌غرب ایران در عرض‌های جغرافیایی 30° و $30'$ و 37° و 36° شمالی و طول‌های جغرافیایی $45'$ و 47° و $5'$ شرقی قرار گرفته است. منطقه‌ی مورد بررسی از نظر رده‌بندی ساختاری [۲، ۱]، در زون سنندج- سیرجان قرار گرفته است. علیرغم روند NW-SE ساختارهای دگرگون و نیز موقعیت منطقه‌ی مورد بررسی در زون سنندج- سیرجان، مجموعه‌ی دگرگون تکاب از نظر ویژگی‌های سنگ- شناسی با تشکیل دهنده‌هایی از انواع سنگ‌های دگرگون شامل گنیس، شیسته‌های رسی، آمفیبولیت، میگماتیت، گرانولیت-

سن قدیمی ترین سنگ‌ها در پوسته‌ی قاره‌ای تکاب بر اساس سال سنجی U/Pb زیرکن و داده‌های سنی

2800 ± 200 (تصحیح شده نسبت به $\text{Pb}^{204}/\text{Pb}^{206}$) در حدود

۵ میلیون سال است [۴، ۵]. سن نفوذ گرانیت‌های گنیسی به

داخل مجموعه‌ی دگرگون تکاب بر اساس سال سنجی U/Pb

زیرکن در حدود ۵۶۰ میلیون سال تعیین شده است [۶].

حمدی [۷] سن مرمرهای تکاب را کامبرین فوقانی در نظر

گرفته است.

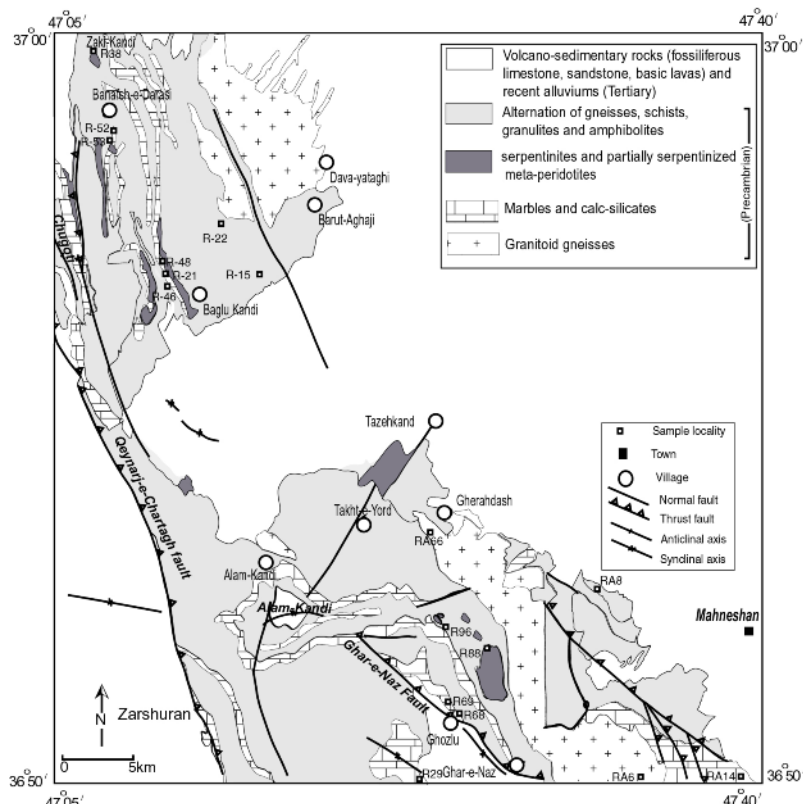
گرانیتوئید به صورت توده‌های پراکنده و کوچک به داخل سنگ‌های دگرگون منطقه نفوذ کرده است [۵]. سن توده‌های گرانیتوئیدی به صورت نسبی با در نظر گرفتن مرز تماس این سنگ‌ها با سنگ‌های رسوبی با سنگ‌های دگرگون دربرگیرنده و بر اساس داده‌های ایزوتوپی U/Pb 25 ± 1 میلیون سال تعیین شده است [۵]. میگماتیت‌های تکاب 25 ± 1 میلیون سال تعیین شده است [۵]. سنگ‌های دگرگون به صورت دگرشیب با سنگ‌های رسوبی ترشیری پوشیده شده‌اند. رانش سنگ‌های دگرگون روی سنگ‌های رسوبی و آتشفسانی میوسن در راستای گسل‌های اصلی قینرجه- چهارطاق رخ داده است (شکل ۱) [۸].

براساس داده‌های سنی K-Ar در سنگ‌های شیستی منطقه‌ی زره شوران [۹]، سال سنجی U-Th/He در آپاتیت‌های منطقه‌ی ماه نشان [۶] و سال سنجی ^{39}Ar - ^{40}Ar موسکویت در شیسته‌ها [۲]، زمان بالا آمدگی سنگ‌های پوسته‌ای در میوسن پیشین (حدود ۲۰ میلیون سال قبل) رخ داده است. فعالیت‌های آتشفسانی میوسن نیز نتیجه‌ی رژیم کششی طی بالا آمدگی پوسته‌ی قاره‌ای منطقه بوده است.

سنگ‌های دگرگون در مجموعه‌ی تکاب تا رخساره‌ی گرانولیت دگرگون شده و میگماتیت‌های آناتکسی و گرانیت‌های همراه به این ترتیب تشکیل شده‌اند. سنگ‌های دگرگون اوج سپس طی بالا آمدگی به دلیل کاهش فشار، دما و تاثیر شاره‌های غنی از آب در شرایط پسروندۀ دگرگون شده‌اند. رخداد دگرگونی پسروندۀ در مرمره‌ای گرانولیت به رخساره‌ی آمفیبولیت شده است. آن‌ها از رخساره‌ی گرانولیت به رخساره‌ی آمفیبولیت شده است. در این پژوهش ترکیب کانی‌شناسی و روابط بافتی دگرگون پسروندۀ در مرمره‌ای گرانولیت به رخساره‌ی آمفیبولیت شده و شرایط دما- فشار دگرگونی پسروندۀ مشخص شده است.

زمین‌شناسی منطقه

سنگ‌های دگرگون آهکی در منطقه تکاب به صورت میان لایه با سنگ‌های متاولترامافیک (پریدوتیت‌های سرپانتینی و سرپانتینیت)، متابازیت (شیست سبز، آمفیبولیت، و گرانولیت-های مافیک) و متاپلیت (شیسته‌های رسی و گنیس) بروند دارند (شکل ۱). سنگ‌های آمفیبولیت در شرایط دگرگونی بالا ذوب شده و میگماتیت‌های مافیک و سنگ‌های گرانیتوئیدی با خاستگاه آناتکسی در این ارتباط تشکیل شده است. سنگ‌های



شکل ۱ نقشه‌ی زمین‌شناسی منطقه با اقتباس از [۸].

و شدت جریان 15 kV و 20 nA تجزیه شد. نسبت $\text{Fe}^{2+}/\text{Fe}^{3+}$ در کانی‌های آمفیبول با استفاده از موازنۀ کاتیون‌ها در ساختار کانی‌ها [۱۰] محاسبه شده. تجزیه‌ی ریز پردازشی داده‌های معرف کانی‌ها در جدول ۲ تا ۴ نشان داده شده است.

روش پژوهش

کانی‌های دگرگون پسروند شامل آمفیبول، کلینوکلر، کلسیت و دولومیت در نمونه‌ی معرف از مرمرهای الیوین دار ریز پردازشی در دانشگاه منچستر انگلستان با ولتاژ CAMECA SX100

جدول ۱ مجموعه‌ی کانی‌ها در آهک‌های دگرگون تکاب. علائم اختصاری کانی‌ها از [۲۰] است. X، کانی اصلی؛ O، کانی فرعی؛ A، کانی دگرسان شده است.

Samp.	Cal/ Dol	Hbl	Qtz	Cpx	Sep	Grt	Ep	Zo	Cchl	Ttn	Act/ Tr	Pl	Ol	Rock type
R88-28	X						A	O		A	O	O		مرمر دولومیتی الیوین دار
R88-30	X						A	O		A	O	O		مرمر دولومیتی الیوین دار
R88-5	X						A	O		A	O	O		مرمر دولومیتی الیوین دار
R88-21	X							O		A	O	O		مرمر دولومیتی الیوین دار
RA8-f	O	O	O	X	X	O	A	A		A	A	X		کالک-سیلیکات Sep-Cpx-Grt
R48-1	X	O	X	X		O	A			A	A	X, A		کالک-سیلیکات Cpx-Grt
R48-2	X		O	O			A	A		A	A	O		کالک-سیلیکات Cpx
R48-3	X		O	O			A				A	O		کالک-سیلیکات Cpx
R68-5	X	A,O	O	O	O	X	A			A	A?	O		کالک-سیلیکات Sep-Cpx-Grt

جدول ۲ کانی شیمی کلینوکلر در مرمرهای الیوین دار مجموعه‌ی دگرگون تکاب.

	Cchl						
SiO ₂	۲۹,۲۳	۲۹,۴۸	۲۹,۴۹	۲۹,۵۱	۲۹,۷۷	۲۹,۲۷	۲۹,۵۰
TiO ₂	۰,۰۶	۰,۰۷	۰,۰۵	۰,۰۸	۰,۰۷	۰,۰۸	۰,۱۰
Al ₂ O ₃	۱۸,۸۶	۱۹,۲۰	۱۸,۸۹	۱۸,۹۸	۱۸,۹۳	۱۹,۰۶	۱۸,۶۹
Cr ₂ O ₃	۰,۲۲	۰,۲۰	۰,۲۱	۰,۱۶	۰,۲۰	۰,۲۳	۰,۲۱
FeO	۵,۴۰	۵,۳۷	۵,۴۸	۵,۷۱	۵,۴۷	۵,۵۲	۵,۵۹
MnO	۰,۰۴	۰,۰۳	۰,۰۴	۰,۰۴	۰,۰۴	۰,۰۴	۰,۰۳
MgO	۳۰,۳۳	۳۰,۳۴	۳۰,۴۲	۳۰,۴۴	۳۰,۴۷	۳۰,۳۸	۳۰,۴۷
CaO	۰,۰۲	۰,۰۱	۰,۰۲	۰,۱۰	۰,۰۶	۰,۰۶	۰,۰۴
Total	۸۴,۱۷	۸۴,۶۸	۸۴,۶۰	۸۵,۰۱	۸۵,۰۰	۸۴,۶۳	۸۴,۶۲
Formula	(O)۱۴						
Si	۲,۸۸	۲,۸۹	۲,۸۹	۲,۸۹	۲,۹۱	۲,۸۷	۲,۹۰
Ti	۰,۰۰	۰,۰۱	۰,۰۰	۰,۰۱	۰,۰۱	۰,۰۱	۰,۰۱
Al	۲,۱۹	۲,۲۲	۲,۱۸	۲,۱۹	۲,۱۸	۲,۲۱	۲,۱۶
Cr	۰,۰۲	۰,۰۲	۰,۰۲	۰,۰۱	۰,۰۲	۰,۰۲	۰,۰۲
Fe ²⁺	۰,۴۵	۰,۴۴	۰,۴۵	۰,۴۷	۰,۴۵	۰,۴۵	۰,۴۶
Mn	۰,۰۰	۰,۰۰	۰,۰۰	۰,۰۰	۰,۰۰	۰,۰۰	۰,۰۰
Mg	۴,۴۶	۴,۴۳	۴,۴۵	۴,۴۴	۴,۴۳	۴,۴۵	۴,۴۶
Ca	۰,۰۰	۰,۰۰	۰,۰۰	۰,۰۱	۰,۰۱	۰,۰۱	۰,۰۰
Total	۱۰,۰۱	۹,۹۹	۱۰,۰۰	۱۰,۰۱	۹,۹۹	۱۰,۰۱	۱۰,۰۱
Mg/(Mg+Fe)	۰,۹۱	۰,۹۱	۰,۹۱	۰,۹۱	۰,۹۱	۰,۹۱	۰,۹۱
A	۰,۱۸	۰,۱۹	۰,۱۸	۰,۱۸	۰,۱۸	۰,۱۹	۰,۱۸
C	۰,۰۰	۰,۰۰	۰,۰۰	۰,۰۰	۰,۰۰	۰,۰۰	۰,۰۰
FM	۰,۸۲	۰,۸۱	۰,۸۲	۰,۸۲	۰,۸۲	۰,۸۱	۰,۸۲

جدول ۳ کانی شیمی کلسیت و دولومیت در مرمرهای الیوین دار مجموعه دگرگون تکاب.

	Dol	Dol	Dol	Dol	Dol	Dol	Cal	Cal
SiO ₂	۰/۰۰	۰/۰۰	۰/۰۰	۰/۰۰	۰/۰۰	۰/۰۰	۰/۰۷	۰/۰۴
TiO ₂	۰/۰۰	۰/۰۰	۰/۰۱	۰/۰۰	۰/۰۲	۰/۰۰	۰/۰۰	۰/۰۰
Al ₂ O ₃	۰/۰۰	۰/۰۰	۰/۰۰	۰/۰۰	۰/۰۰	۰/۰۰	۰/۰۰	۰/۰۰
Cr ₂ O ₃	۰/۰۰	۰/۰۰	۰/۰۰	۰/۰۰	۰/۰۰	۰/۰۰	۰/۰۰	۰/۰۰
FeO	۱/۹۰	۵/۸۱	۲/۸۳	۲/۳۷	۲/۷۲	۲/۱۹	۰/۶۲	۰/۸۰
MnO	۰/۲۷	۰/۲۱	۰/۲۰	۰/۱۷	۰/۱۹	۰/۲۳	۰/۵۰	۰/۴۰
MgO	۲۰/۸۰	۱۸/۰۰	۲۰/۳۶	۲۰/۸۵	۲۰/۴۷	۲۰/۵۱	۰/۲۰	۰/۲۴
CaO	۳۲/۰۳	۳۰/۰۸	۳۱/۶۹	۲۲/۳۰	۲۲/۴۰	۳۱/۸۵	۵۸/۰۷	۵۷/۹۵
Na ₂ O	۰/۰۱	۰/۰۰	۰/۰۱	۰/۰۰	۰/۰۲	۰/۰۰	۰/۰۰	۰/۰۰
K ₂ O	۰/۰۰	۰/۰۰	۰/۰۰	۰/۰۱	۰/۰۰	۰/۰۰	۰/۰۰	۰/۰۰
Total	۵۵/۰۲	۵۴/۱۰	۵۵/۱۰	۵۵/۷۱	۵۵/۸۲	۵۴/۷۸	۵۹/۴۶	۵۹/۴۳
Si	۰/۰۰	۰/۰۰	۰/۰۰	۰/۰۰	۰/۰۰	۰/۰۰	۰/۰۰	۰/۰۰
Ti	۰/۰۰	۰/۰۰	۰/۰۰	۰/۰۰	۰/۰۰	۰/۰۰	۰/۰۰	۰/۰۰
Al	۰/۰۰	۰/۰۰	۰/۰۰	۰/۰۰	۰/۰۰	۰/۰۰	۰/۰۰	۰/۰۰
Cr	۰/۰۰	۰/۰۰	۰/۰۰	۰/۰۰	۰/۰۰	۰/۰۰	۰/۰۰	۰/۰۰
Fe ²⁺	۰/۰۵	۰/۰۸	۰/۰۵	۰/۰۶	۰/۰۶	۰/۰۴	۰/۰۲	۰/۰۴
Mn	۰/۰۱	۰/۰۰	۰/۰۰	۰/۰۰	۰/۰۰	۰/۰۰	۰/۰۲	۰/۰۲
Mg	۰/۹۴	۰/۹۱	۰/۹۱	۰/۹۱	۰/۹۱	۰/۹۳	۰/۰۲	۰/۰۲
Ca	۱/۰۰	۱/۰۱	۱/۰۲	۱/۰۳	۱/۰۳	۱/۰۳	۱/۹۴	۱/۹۲
Na	۰/۰۰	۰/۰۰	۰/۰۰	۰/۰۰	۰/۰۰	۰/۰۰	۰/۰۰	۰/۰۰
K	۰/۰۰	۰/۰۰	۰/۰۰	۰/۰۰	۰/۰۰	۰/۰۰	۰/۰۰	۰/۰۰
Total	۲/۰۰	۲/۰۰	۲/۰۰	۲/۰۰	۲/۰۰	۲/۰۰	۲/۰۰	۲/۰۰

جدول ۴ کانی شیمی آمفیبول در مرمرهای الیوین دار مجموعه دگرگون تکاب.

	Amp							
SiO ₂	۵۲/۹۱	۵۱/۷۶	۵۶/۰۲	۵۳/۳۵	۵۲/۹۵	۵۴/۴۵	۵۲/۳۲	۵۲/۹۹
TiO ₂	۰/۱۸	۰/۲۷	۰/۰۴	۰/۲۳	۰/۱۸	۰/۱۰	۰/۲۶	۰/۲۲
Al ₂ O ₃	۳/۴۹	۵/۱۱	۰/۹۳	۴/۰۲	۳/۴۵	۱/۷۴	۴/۶۵	۴/۵۹
Cr ₂ O ₃	۰/۰۷	۰/۱۷	۰/۰۱	۰/۰۹	۰/۱۲	۰/۰۴	۰/۱۱	۰/۱۲
Fe ₂ O ₃	۲/۶۵	۳/۳۶	۲/۱۱	۲/۲۱	۳/۹۲	۳/۸۸	۲/۷۷	۱/۷۳
FeO	۱/۶۲	۱/۱۸	۱/۳۰	۱/۹۵	۰/۳۱	۰/۰۶	۱/۷۴	۲/۲۴
MnO	۰/۰۸	۰/۰۸	۰/۰۸	۰/۰۶	۰/۰۶	۰/۰۸	۰/۰۸	۰/۰۶
MgO	۲۱/۱۶	۲۰/۳۴	۲۲/۴۳	۲۰/۸۰	۲۱/۲۲	۲۲/۰۹	۲۰/۵۴	۲۰/۷۳
CaO	۱۲/۲۱	۱۲/۹۱	۱۳/۳۳	۱۳/۱۴	۱۲/۹۵	۱۲/۰۸	۱۲/۱۶	۱۲/۴۰
Na ₂ O	۰/۳۹	۰/۶۲	۰/۰۹	۰/۴۳	۰/۳۶	۰/۱۶	۰/۵۴	۰/۴۳
K ₂ O	۰/۰۳	۰/۰۷	۰/۰۲	۰/۰۶	۰/۰۳	۰/۰۲	۰/۰۶	۰/۰۷
Total	۹۶/۷۸	۹۵/۸۶	۹۶/۳۵	۹۶/۲۲	۹۵/۵۴	۹۵/۷۱	۹۶/۱۹	۹۶/۵۷
Formula	۲۳ (O)							
Si	۷/۵۲	۷/۳۱	۷/۸۰	۷/۴۸	۷/۴۷	۷/۶۵	۷/۳۷	۷/۴۲
Ti	۰/۰۲	۰/۰۳	۰/۰۱	۰/۰۲	۰/۰۲	۰/۰۱	۰/۰۳	۰/۰۲
Al	۰/۵۷	۰/۸۵	۰/۱۵	۰/۶۶	۰/۵۷	۰/۲۹	۰/۷۷	۰/۷۶
Cr	۰/۰۱	۰/۰۲	۰/۰۱	۰/۰۱	۰/۰۱	۰/۰۱	۰/۰۱	۰/۰۱
Fe ³⁺	۰/۲۸	۰/۳۶	۰/۲۲	۰/۲۳	۰/۴۲	۰/۴۱	۰/۲۹	۰/۱۸
Fe ²⁺	۰/۱۹	۰/۱۴	۰/۱۵	۰/۲۳	۰/۰۴	۰/۰۱	۰/۲۱	۰/۲۶
Mn	۰/۰۱	۰/۰۱	۰/۰۱	۰/۰۱	۰/۰۱	۰/۰۱	۰/۰۱	۰/۰۱
Mg	۴/۴۰	۴/۲۸	۴/۶۶	۴/۳۵	۴/۴۶	۴/۴۳	۴/۳۱	۴/۳۳
Ca	۱/۹۸	۱/۹۶	۱/۹۹	۱/۹۸	۱/۹۶	۱/۹۷	۱/۹۹	۲/۰۱
Na	۰/۱۱	۰/۱۷	۰/۰۳	۰/۱۲	۰/۱۰	۰/۰۵	۰/۱۵	۰/۱۲
K	۰/۰۰	۰/۰۱	۰/۰۰	۰/۰۱	۰/۰۱	۰/۰۰	۰/۰۱	۰/۰۱
Total	۱۵/۰۸	۱۵/۱۳	۱۵/۰۲	۱۵/۱۰	۱۵/۰۶	۱۵/۰۲	۱۵/۱۵	۱۵/۱۴
Mg/(Mg+Fe ²⁺)	۰/۹۶	۰/۹۷	۰/۹۷	۰/۹۵	۰/۹۹	۱/۰۰	۰/۹۶	۰/۹۴
Al/(Al+Fe ³⁺ +Cr)	۰/۶۷	۰/۶۹	۰/۴۱	۰/۷۳	۰/۵۷	۰/۴۱	۰/۷۲	۰/۸۰
A	۰/۰۵	۰/۰۸	۰/۰۳	۰/۰۶	۰/۰۷	۰/۰۵	۰/۰۷	۰/۰۶
C	۰/۲۸	۰/۲۸	۰/۲۹	۰/۲۸	۰/۲۸	۰/۲۸	۰/۲۹	۰/۲۹
FM	۰/۶۶	۰/۶۴	۰/۶۹	۰/۶۶	۰/۶۵	۰/۶۷	۰/۶۵	۰/۶۵

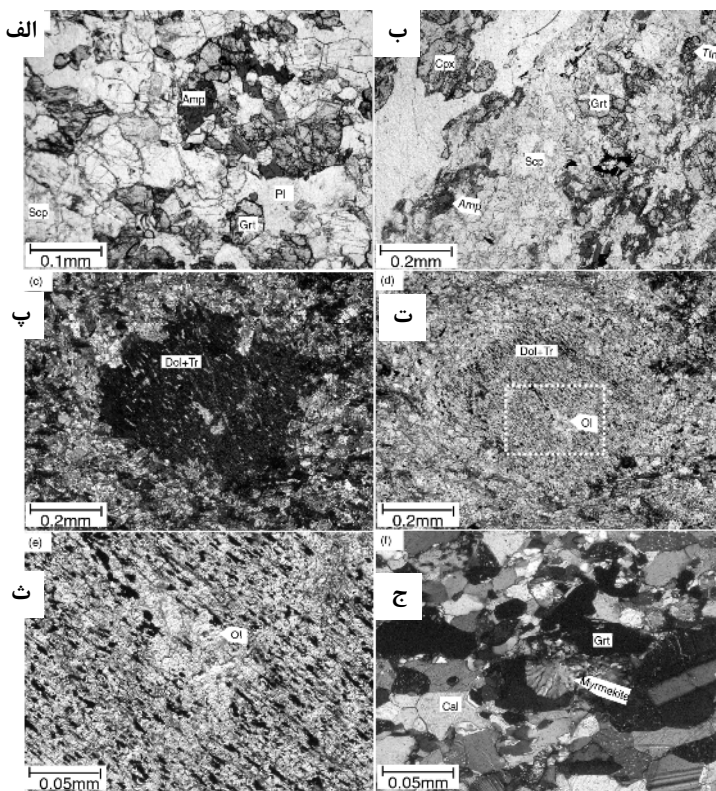
جدول ۵ مجموعه‌ی کانی‌ها و واکنش‌های دگرگون در آهک‌های دگرگون تکاب.

نوع سنگ	مجموعه‌ی کانی‌ها	واکنش‌های دگرگونی پسرونده
مرمر الیوین دار	Ol+Dol+Tr±Ts+Cchl+Qtz±Pl	$\text{Fo}+\text{Cal}+\text{CO}_2=\text{Dol}+\text{Qtz}$ $\text{Fo}+\text{Cal}+\text{CO}_2+\text{H}_2\text{O}=\text{Tr}+\text{Dol}$ $\text{Ts}+\text{Fo}+\text{CO}_2+\text{H}_2\text{O}=\text{Cchl}+\text{Cal}/\text{Dol}+\text{Qtz}$ $\text{Ts}+\text{Fo}+\text{CO}_2+\text{H}_2\text{O}=\text{Cchl}+\text{Tr}+\text{Cal}/\text{Dol}$ $\text{Fo}+\text{An}+\text{Ilm}+\text{CO}_2+\text{H}_2\text{O}=\text{Ttn}+\text{Cchl}+\text{Qtz}+\text{Ank}$ $\text{Fo}+\text{An}+\text{Ilm}+\text{Cal}+\text{CO}_2+\text{H}_2\text{O}=\text{Ttn}+\text{Cchl}+\text{Ank}$ $\text{An}+\text{Cal}+\text{H}_2\text{O}=\text{Ep}+\text{CO}_2$
-Grt-Scp-Cpx کالک- سیلیکات	Cpx±Scp±Grt±Amp+Pl+Qtz+Cal±Ilm±Ttn±Ep	$\text{Grt}+\text{CO}_2=\text{Pl}+\text{Cal}+\text{Qtz}$ $\text{Me}+\text{Hd}+\text{CO}_2=\text{Alm}+\text{Cal}+\text{Qtz}$ $\text{Ilm}+\text{An}+\text{Prg}+\text{Qtz}+\text{H}_2\text{O}=\text{Ttn}+\text{Ab}+\text{Fe}-\text{r}+\text{Ts}$

میلی‌متر به صورت همزیست با اسکاپولیت در اندازه‌ی ۰/۳ میلی‌متر در زمینه‌ی گرانوبلاستیک سنگ‌ها مشاهده می‌شود (شکل ۲ الف-ب). کانی‌های کلسیت در زمینه‌ی گرانوبلاستیک دارای نقطه اتصال سه تایی هستند. هورنبلند با چند رنگی سبز-قهوه‌ای تا اندازه‌ی ۱ میلی‌متر تشکیل شده است. کانی‌های ترمولیت حاصل دگرسانی هورنبلندند.

سنگ‌نگاری سنگ‌های دگرگون آهکی سنگ‌های کلینوپیروکسن-(±)اسکاپولیت-(±)گارنت آهکی - سیلیکات

برونزد این سنگ‌ها در شمال غرب روستای قره ناز مشاهده شده است (شکل ۱). مجموعه کانی‌های دگرگون عبارتند از کلینوپیروکسن، (±) اسکاپولیت، (±)گارنت، هورنبلند، پلازیوکلاز، کوارتز و کلسیت. کلینوپیروکسن در اندازه‌ی ۰/۲



شکل ۲ سنگ‌نگاشتی سنگ‌های آهکی دگرگون شده در مجموعه‌ی تکاب (الف) اسکاپولیت و گارنت در زمینه‌ی گرانوبلاستیک اسکاپولیت-کلینوپیروکسن-گارنت سیلیکات آهکی، حالت PPL. (ب) کلینوپیروکسن اسکاپولیت-کلینوپیروکسن-گارنت سیلیکات آهکی، حالت (پ) PPL. (پ) کانی‌های ثانویه دولومیت و ترمولیت جانشین الیوین شده است، حالت XPL. (ت) همان شکل در حالت XPL. (ث) الیوین به صورت دانه‌های کوچک و بی‌شکل در سنگ مشخص است، حالت PPL. (ج) همرشدی پلازیوکلاز و کوارتز به صورت بافت میرمکیت در سنگ سیلیکات آهکی، حالت XPL.

تیتانیت در اطراف ایلمنیت از شواهد بافت دگرگونی پسروند است. اپیدوت در مقادیر جزئی در برخی از نمونه‌ها مشاهده می‌شود. جدول ۱ مجموعه کانی‌های دگرگون در سنگ‌های سیلیکات آهکی و مرمرهای تکاب را نشان می‌دهد.

کانی شیمی

در این بخش شیمی کانی‌های دگرگون پسروند در مرمرهای دولومیتی تکاب مورد بررسی قرار می‌گیرد. هدف از بررسی شیمی کانی‌های دگرگون پسروند، تعیین شیمی کانی‌های پسروند، محاسبه فعالیت اعضای نهائی کانی‌ها برای رسم نمودارهای فازی و تعیین شرایط فشار و دمای دگرگونی پسروند در مجموعه دگرگونی تکاب است.

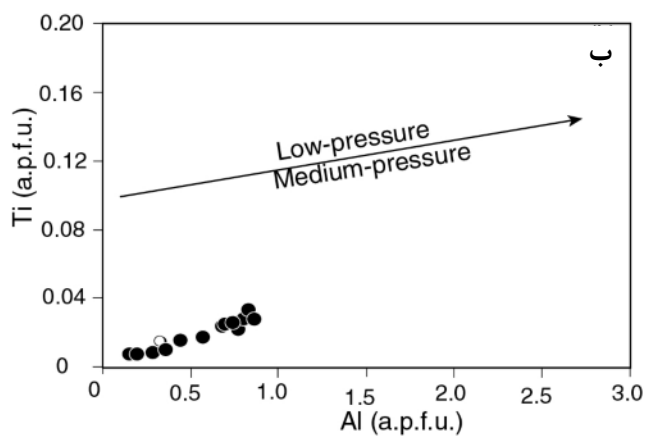
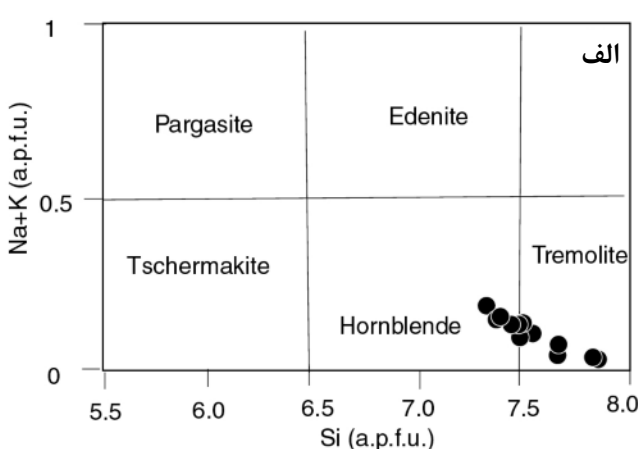
آمفیبول

کانی‌های آمفیبول به صورت اصلی در گروه آمفیبول‌های کلسیک رده بندی می‌شوند. فرمول ساختاری آمفیبول در جدول ۴ نشان داده شده است. مقدار Fe^{3+} بر اساس روش موازنۀ بار [۱۰] تصحیح شده است. نمونه‌های تجزیه شده در نمودار رده‌بندی [۱۱] از نوع ترمولیت و هورنبلند با مقادیر پایین Al_2O_3 (تا ۵٪ وزنی) قرار می‌گیرند (شکل ۳ الف). عدد منیزیوم آمفیبول به صورت چشمگیری بالاست (۹۹–۹۴٪). در نمودار [۱۲] (Ti/Na) نسبت به (Al/Mg#)، در نمودار [۱۱] (Ti/Na) نسبت به (Al) ترکیب کانی‌های تجزیه شده در گستره‌ی فشار متوسط قرار می‌گیرد (شکل ۳ ب).

در برخی از نمونه‌ها، کانی‌های ثانویه‌ی کلسیت و پلاژیوکلاز نیز به صورت حاشیه واکنشی در پیرامون گارنت اولیه تشکیل شده‌اند. بقایایی از گارنت اولیه به صورت نفوذی در پلاژیوکلاز ثانویه مشاهده می‌شود. کانی‌های ایلمنیت با تیتانیت با هسته‌ی احاطه شده است. بقایای ایلمنیت به صورت ریز دانه در هسته‌ی تیتانیت ثانویه دیده می‌شود. بافت میرمکیت به صورت موضعی در برخی از نمونه‌ها مشاهده می‌شود (شکل ۲ ج).

مرمرهای دولومیتی الیوین دار

این سنگ‌ها در رخساره‌ی گرانولیت دگرگون شده‌اند. دولومیت همراه با الیوین، کانی اصلی این سنگ‌هاست. طی دگرگونی (pick) پسروند، مجموعه‌ی کانی‌های دگرگون اوج (metamorphism) به شدت به وسیله‌ی کانی‌های با دمای پایین جایگزین شده‌اند. بقایای الیوین تا اندازه‌ی ۰۳ میلی‌متر در این سنگ‌ها مشاهده می‌شود. مجموعه کانی‌های پسروند در مرمرهای دولومیتی شامل دولومیت/کلسیت + کلینوکلر + ترمولیت است. ترمولیت و دولومیت با بافت همرشدی جانشین پورفیروبلاست‌های الیوین در اندازه‌های ۲–۴ میلی‌متر شده است (شکل ۲ پ-ت). الیوین به صورت دانه‌های ریز و بی‌شكل در بافت شبه ریختی مشخص است (شکل ۲ ث). کلینوکلر پسروند به صورت همزیست با ترمولیت در بافت گرانوبلاستیک تشکیل شده است. ایلمنیت مهمترین کانی تیره این سنگ‌هاست که در حاشیه به تیتانیت تجزیه شده است. حضور

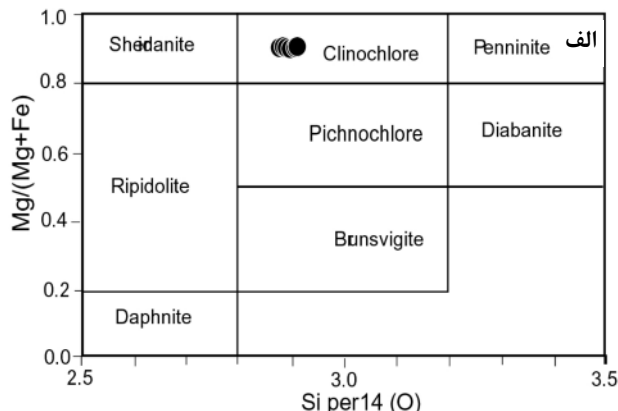


شکل ۳ ترکیب کانی‌های آمفیبول در (الف) نمودار [۱۱] (Na+K/a.p.f.u.) نسبت به Si (a.p.f.u.)، (ب) نمودار [۱۲] (Ti/a.p.f.u.) نسبت به Al (a.p.f.u.)

بسیار جزئی به ترتیب $\text{wt\%} < 25$ و $\text{wt\%} < 8$ میگاند. است.

دگرگونی پسروند در مرمرهای دولومیتی الیوین دار مرحله‌ی دگرگونی اوج در مجموعه‌ی دگرگونی تکاب با کاهش فشار و دما و انتشار شاره‌های غنی از H_2O در خلال بالا زدگی سنگ‌های پوسته‌ای وارد مرحله دگرگونی پسروند شده است. بررسی سنگ‌نگاشتی، روابط بافتی و بررسی کانی‌ها در مرمرهای دولومیتی الیوین دار تکاب، مرحله‌ی انتقال از رخساره گرانولیت به رخساره آمفیبولیت را نشان می‌دهد. مجموعه کانی‌های با دمای پایین مانند ترمولیت و کلینوکلر در حضور الیوین دار تکاب شواهدی از رخداد دگرگونی پسروند در حضور فاز شاره در مرمرهای دولومیتی الیوین دار است. خاستگاه شاره در طی فرایندهای دگرگونی پسروند را شاید بتوان به شاره‌های آزاد شده از سرد شدن توده‌های گرانیتoidی و بخش ماقمایی لوکوسوم در میگماتیت‌ها یا نفوذ شاره‌های با خاستگاه خارجی در نظر گرفت [۱۴]. برای تعیین دقیق خاستگاه شاره در طی فرایندهای دگرگونی پسروند تکاب نیاز به داده‌های ایزوتوبی است.

برخی از شواهد بافتی و کانی‌شناسی در مرمرهای دولومیتی الیوین دار و گرانولیت‌های سیلیکات آهکی مجموعه دگرگون تکاب که رخداد فرایندهای دگرگونی پسروند در منطقه را تایید می‌کنند عبارتند از:



شکل ۴ ترکیب کانی‌های کلریت در (الف) نمودار $\text{Mg}/(\text{Mg}+\text{Fe})$ - Si per 14(O)- Fe . (ب) نمودار مثلثی $\text{Si}-\text{Fe}-\text{Mg}$.

کلریت

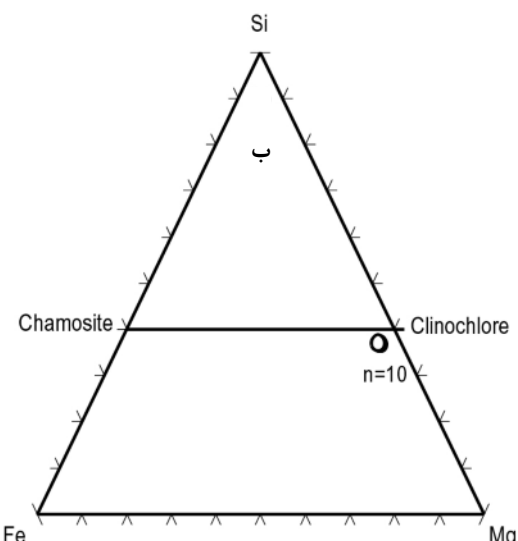
ترکیب کانی‌های کلریت بر اساس نمودار [۱۳]، تماماً در گستره‌ی کلینوکلر قرار می‌گیرد (شکل ۴ الف). فرمول کاتیونی محاسبه شده برای $\text{Al}^{VI} 0.43-0.46 \text{Fe}^{2+} 0.42-4.46 \text{M} (\text{Si}_{2.88-2.91} \text{Al}_{1.01-1.08})^{\text{IV}} \text{O}_{10}(\text{OH})_4$ است. تمامی آهن به صورت Fe^{2+} در نظر گرفته شده‌اند. تغییرات ترکیبی کانی‌های کلریت تجزیه شده کم است. مقدار Al نزدیک به مقدار ایده‌آل آن (2 a.p.f.u.) است. مقادیر TiO_2 و MnO و Cr_2O_3 به ترتیب برابر با 0.23 ، 0.16 درصد وزنی، کمتر از 0.04 درصد وزنی و کمتر از 0.01 درصد وزنی است. در نمودار $\text{Fe}-\text{Si}-\text{Mg}$ ، نمونه‌های تجزیه شده بر روی خط مستقیم بین اعضای نهایی کلینوکلر و شاموزیت و نزدیک به کلینوکلر قرار می‌گیرند (شکل ۴ ب).

دولومیت

ترکیب دولومیت بر اساس دو کاتیون و دو اتم اکسیژن به صورت $\text{Ca}(\text{Mg}_{0.91-0.94} \text{Fe}_{0.09-0.06})(\text{CO}_3)_2$ است. مقدار Fe^{2+} در ترکیب دولومیت‌های تجزیه شده از (0.04 apfu) تا (0.08 apfu) در تغییر است. مقدار Mn در ترکیب این کانی‌ها کم و در حدود $0.27-0.17$ (درصد وزنی) است.

کلسیت

جدول ۳ ترکیب کانی‌های کلسیت تجزیه شده را بر اساس دو کاتیون و دو اتم اکسیژن نشان می‌دهد. Mg و Fe در مقادیر



شکل ۴ ترکیب کانی‌های کلریت در (الف) نمودار $\text{Mg}/(\text{Mg}+\text{Fe})$ - Si per 14(O)- Fe . (ب) نمودار مثلثی $\text{Si}-\text{Fe}-\text{Mg}$.

اپیدوت تشکیل شده است و مقدار آن در فازهای فرومینیزین مانند آمفیبول کمتر است بنابراین با در نظر گرفتن محلول جامد بین Al_2O_3 و Fe_2O_3 , M_1O توان این دو تشکیل دهنده را در نمودار سازگار سنگ‌های آهکی با نماد (A) در نظر گرفت. FeO تشکیل دهنده‌ی اصلی فازهای فرومینیزین در سنگ‌های $\text{Fe}-\text{Mn}$ آهکی است. با در نظر گرفتن جانشینی MgO و $\text{Fe}-\text{Mg}$ آهکی با MnO می‌توان تشکیل دهنده‌های دو ظرفیتی MgO , MnO را همراه با FeO در نمودار با نماد (F) نشان داد. برای اینکه بتوان کانی‌های دارای CO_2 مانند کلسیت/دولومیت و کانی‌های آبدار مانند آمفیبول را روی نمودار نمایش داد، فرض می‌شود که شاره در درجه‌ی دگرگونی پائین و متوسط در اصل H_2O و CO_2 بوده است. کوارتز و کلسیت/دولومیت در تمامی مجموعه کانی‌های دگرگون سنگ‌های آهک یافت می‌شوند، بنابراین به صورت فازهای اضافی در سیستم حضور دارند. ترکیب شیمیایی ساده شده سنگ‌های آهک و سیلیکات آهکی مورد بررسی را می‌توان در نمودار کسر مولی $\text{CAF}-(\text{H}_2\text{O}, \text{CO}_2)$ نشان داد.

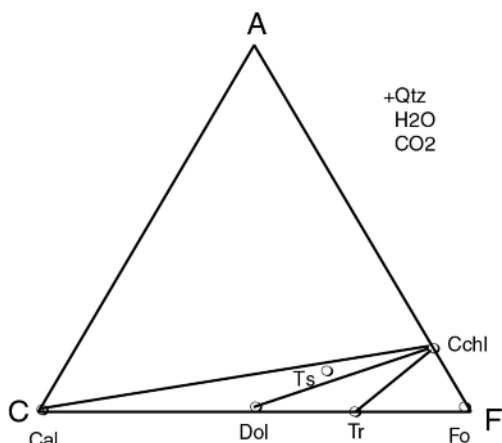
متغیرهای تشکیل دهنده در سیستم مورد بررسی مرمرهای دولومیتی تکاب عبارتند از:

C: CaO

A: $\text{AlO}_{3/2} + \text{FeO}_{3/2} - \text{NaO}_{1/2}$

F: $\text{FeO} + \text{MgO} + \text{MnO}$

کوارتز، آلبیت، H_2O و CO_2 در تمامی مجموعه کانی‌ها حضور دارند و از فازهای اضافی سیستم به حساب می‌آیند. شکل ۵ ترکیب شیمیایی فازهای دگرگون پسروندۀ مرمرهای دولومیتی تکاب در سیستم $\text{CAF}-(\text{H}_2\text{O}, \text{CO}_2)$ را نشان می‌دهد.



شکل ۵ نمایش ترکیب شیمیایی کانی‌های دگرگون پسروندۀ مرمرهای دولومیتی تکاب در سیستم $\text{CAF}-(\text{H}_2\text{O}, \text{CO}_2)$.

جانشینی گارنت با پلازیوکلاز و کلسیت: تشکیل گارنت ثانویه با بافت هاله‌ای در حاشیه‌ی پلازیوکلاز و نیز تشکیل کانی‌های ثانویه کلسیت و پلازیوکلاز به صورت حاشیه واکنشی در اطراف گارنت اولیه در سنگ‌های سیلیکات آهکی تکاب شواهدی از دگرگونی پسروندۀ‌اند [۱۴]. بقایای گارنت به صورت ادخال در پلازیوکلاز ثانویه، تشکیل پلازیوکلاز به دلیل شکست گارنت را تایید می‌کند (به سنگ نگاشتی مراجعه شود).

جانشینی الیوین با ترمولیت و دولومیت در مومرها: کانی‌های الیوین در مرمرهای دولومیتی تکاب به شدت با کانی‌های ترمولیت+دولومیت جایگزین شده است. بقایای الیوین به صورت دانه‌های بی‌شکل در ترمولیت+دولومیت شبه ریخت و نیز در مقادیر کم در بستر گرانوبلاستیک قابل مشاهده است.

جانشینی ایلمنیت با تیتانیت: در مرمرهای دولومیتی الیوین دار و سنگ‌های Scp-Cpx-Grt سیلیکات آهکی تکاب، ایلمنیت در حاشیه با تیتانیت جانشین شده است.

بافت میرمکیت: همرشدی کوارتز و پلازیوکلاز به صورت بافت میرمکیت در سنگ‌های سیلیکات آهکی پسروندۀ احتمالاً تاثیر شاره‌های غنی از آب طی دگرگونی پسروندۀ را نشان می‌دهد.

بافت میرمکیت می‌تواند به علت جانشینی فلدسپار پتاسیم به وسیله‌ی شاره‌های غنی از Na (میرمکیت تبادلی) و یا به دلیل جدایش (exsolution) در فلدسپار قلیایی طی سرد شدن سنگ‌ها نیز تشکیل شود [۱۶]. میرمکیت با خاستگاه جدایشی در توده‌های نفوذی دگر شکل نشده (undeformed) و کم عمق عمومیت دارد، در صورتی که میرمکیت با خاستگاه جانشینی در سنگ‌های دگرگون دگر شکل شده تشکیل شد که در آن فلدسپار پتاسیم کامل‌کوچک و میرمکیت بسیار بزرگ است (میرمکیت نوع wart like) [۱۷-۱۹].

سیستم شیمیایی در مرمرها

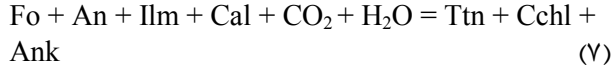
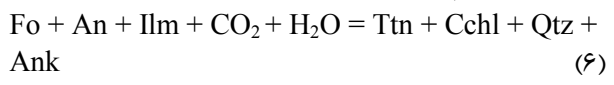
سیستم بررسی‌های سنگ‌های آهکی $\text{CAF}-\text{CH}$ است. فاز CO_2 در مقادیر فراوان تشکیل دهنده اصلی ترکیب فاز شاری در سنگ‌های آهکی است.

K_2O در آلکالی فلدسپار قلیایی حضور دارد و فلدسپار پتاسیم نقش تعیین کننده‌ای در تغییر و شکل‌گیری دگرگونی سنگ‌های آهکی ندارد. TiO_2 فقط در فازهای تیتانیوم دار اصلی مانند ایلمنیت و تیتانیت ذخیره شده است، بنابراین می‌توان بنابر قانون فازها، K_2O و TiO_2 را از سیستم بررسی سنگ‌های آهکی حذف کرد. Fe_2O_3 به صورت اصلی در فاز

تشکیل شده است. واکنش‌های احتمالی تشکیل کلینوکلر به- صورت زیر پیشنهاد می‌شود.



در مرمرهای دولومیتی مورد بررسی تیتانیت به صورت ثانویه در حاشیه ایلمنیت تشکیل شده است. واکنش‌های پیشنهادی برای تشکیل تیتانیت پسرونده عبارتنداز [۲۲]:



اپیدوت در مقادیر کم در برخی نمونه‌ها مشاهده می‌شود.

اپیدوت طی دگرگونی پسرونده احتمالاً از شکست آنورتیت تشکیل شده است.



دما و فشار دگرگونی پسرونده در مرمرهای دولومیتی تکاب شرایط P-T دگرگونی پسرونده بر اساس واکنش‌های تعادلی با استفاده از برنامه THERMOCALC [۲۲] با داده‌های ترمودینامیکی [۲۳] محاسبه شد. مقادیر فعالیت کانی‌های کلینوکلر، ترمولیت، آمفیبول، الیوین و دولومیت با استفاده از برنامه AX [۲۴] محاسبه شده است. فعالیت فازهای خالص کلسیت و کوارتز واحد در نظر گرفته شد.

در محاسبات فشار و دما برای چشم پوشی از مقادیر خطای ناشی از ترکیب احتمالی پیچیده‌ی فاز شاره‌ی دگرگونی، مقادیر $X_{\text{H}_2\text{O}}$ و X_{CO_2} به صورت فازهای دو تائی (0.5) و (0.5) فرض شده‌اند.

واکنش‌های تعادلی بین کانی‌ها با مقدار فعالیت‌های واقعی آن‌ها در برنامه ترمولالک تعیین شده و روی نمودار P-T رسم شد. برخوردگاه، واکنش‌های تعادلی روی نمودار مقادیر فشار و دما را مشخص می‌کند. با توجه به برخوردگاه، واکنش‌های تعادلی در نمودار T-P و با فرض $X_{\text{CO}_2} = 0.5$ ، دما و فشار دگرگونی پسرونده به ترتیب در حدود 25°C و 650 ± 0.5 به دست آمد (شکل ۶). دما و فشار محاسبه شده برای شرایط دگرگونی پسرونده در مرمرهای دولومیتی تکاب با شرایط رخساره‌ی آمفیبولیت همخوانی دارد.

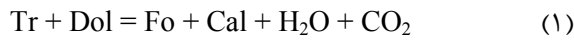
از طرف دیگر براساس [۲۵] محیط زمین ساختی سنگ‌های مورد بررسی با در نظر گرفتن دما و فشار محاسبه شده در گستره‌ی کمربنده‌ای کوهزایی قاره‌ای ارزیابی می‌شود (شکل ۶).

بررسی واکنش‌های دگرگونی در مرمرهای دولومیتی پسرونده-ی تکاب

مرمرها بهدلیل عدم دارا بودن ناخالصی به مقدار کافی قادر به تشکیل کانی‌های سیلیکاتی کلسیم و آلومینیومدار متعدد نبوده و بنابراین اساساً از کلسیت/دولومیت تشکیل شده‌اند. اپیدوت، پلازیوکلаз و ترمولیت می‌توانند در مقادیر فرعی حضور داشته باشند.

تحت شرایط رخساره‌ی گرانولیت (دما بیش از 800°C و فشار 8 kbar یا دما بیش از 700°C و فشار 5 kbar)، فورستریت در مرمرهای دولومیتی ظاهر می‌شود.

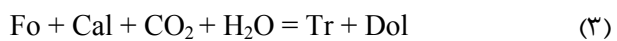
واکنش پیدایش فورستریت در مرمرهای دولومیتی به صورت زیر است:



علاوه اختصاری کانی‌ها از [۲۰] است.

کانی‌های ترمولیت و کلینوکلر در مرمرهای دولومیتی الیوین‌دار حاصل فرایندهای دگرگونی پسرونده. ترمولیت و دولومیت با بافت هم‌رشدی جانشین پورفیروبلاست‌های الیوین شده‌اند. بقایای الیوین بی‌شکل و ریز دانه در بافت شبه ریخت مشخص است.

بر اساس روابط بافتی و بررسی‌های کانی‌شناسی در مرمرهای مورد بررسی، واکنش‌های دگرگونی پسرونده برای تشکیل ترمولیت و دولومیت حاصل از شکست الیوین به صورت زیر پیشنهاد می‌شود:

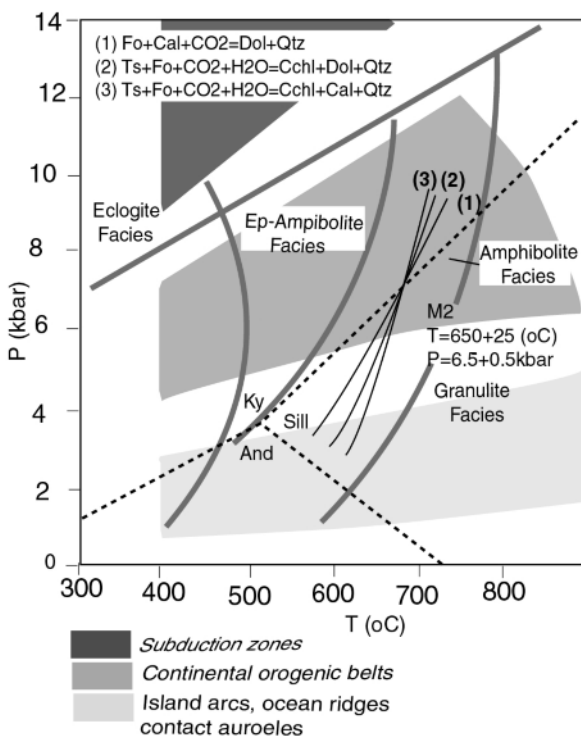


در مرمرهای دولومیتی، ترمولیت پسرونده حاصل از شکست الیوین تقریباً در دما 720°C ظاهر شده (واکنش ۳) و تا شروع رخساره‌ی آمفیبولیت (دما در حدود 500 درجه‌ی سانتی‌گراد و فشار 5 کیلوبار) پایدار باقی می‌ماند [۱۵].

بنابراین در خلال دگرگونی‌های پسرونده مرمرهای دولومیتی دار بهدلیل نبود ترکیب شیمیایی مناسب حتی در دماهای بالا (رخساره آمفیبولیت فوکانی)، ترمولیت محصول واکنشی حاصل از شکست فورستریت است و تا زمانی که ترکیب شیمیایی سنگ تغییری نداشته باشد، مجموعه کانی‌های جدید ظاهر نخواهد شد.

کلینوکلر در دولومیت مرمرهایی که دارای ناخالصی Al_2O_3 هستند در دماهای بالاتر در رخساره آمفیبولیت ظاهر می‌شود [۲۱].

طی شرایط دگرگونی پسرونده کلینوکلر به صورت همزیست با ترمولیت در بافت گرانوبلاستیک دولومیت مرمرهای تکاب



شکل ۶ محیط زمین‌ساختی سنگ‌های مورد بررسی بر اساس [۲۵] در گستره‌ی کمربنده‌ای کوهزایی قاره‌ای قرار می‌گیرد.

آمفیبولیت فوقانی، ترمولیت حاصل از شکست فورستریت پایدار

است و تا زمانی که ترکیب شیمیایی سنگ تغییری نداشت،
مجموعه کانی‌های جدید در آن ظاهر نشده است [۱۵].

ترمولیت و کلینوکلر (در مرمرهای با ناخالصی Al_2O_3 [۱۵])
فراورده‌های واکنشی دگرگونی پسرونده در شرایط رخساره‌ی
آمفیبولیت‌اند.

قدرتانی

از Dr. Giles Droop در دانشگاه منچستر انگلستان به خاطر
تجزیه ریزپردازشی کانی‌ها و دکتر محسن مؤذن در دانشگاه
تبریز به خاطر راهنمایی‌های علمی تشکر و قدردانی می‌شود. از
داوران محترم مجله بلورشناسی و کانی شناسی ایران به خاطر
ارائه نظرات ارزنده در جهت ارتقای سطح علمی مقاله
سپاسگزاری می‌شود.

مراجع

- [1] Alavi M., "Regional stratigraphy of the Zagros Fold-Thrust belt of Iran and its proforelensad

برداشت

۱- مجموعه کانی‌های دگرگون دمای پایین و آبدار مانند ترمولیت، کلینوکلر، (\pm) اپیدوت و تیتانیت حاصل فرایندهای دگرگونی پیشرونده مرمرهای دولومیتی الیوین دارند.

۲- جانشینی الیوین به وسیله مجموعه کانی‌های ترمولیت+دولومیت و جانشینی ایلمنیت با تیتانیت در مرمرهای دولومیتی از شواهد کانی‌شناسی و بافتی رخداد دگرگونی پسرونده در مرمرهای دولومیتی تکاب‌اند. بقایای الیوین به صورت دانه‌های بی‌شکل در ترمولیت+دولومیت شبه ریخت مشاهده می‌شود.

۳- دما و فشار دگرگونی پسرونده بر اساس ترکیب شیمیایی کانی‌های پسرونده و واکنش‌های دگرگونی تعادلی به ترتیب در حدود $650 \pm 25^\circ\text{C}$ و $6.5 \pm 0.5\text{kbar}$ تعیین شد.

دما و فشار محاسبه شده برای شرایط دگرگونی پسرونده در مرمرهای دولومیتی تکاب با شرایط رخساره‌ی آمفیبولیت همخوانی دارد. در مرمرهای دولومیتی پسرونده به دلیل نبود ترکیب شیمیایی مناسب در دماهای بالا تا رخساره‌ی

- silicates and oxides from microprobe analyses using stoichiometric criteria", Mineralogical Magazine, 51 (1987) 431–435.*
- [11] Leake B.E., "Nomenclature of amphiboles", Mineralogical Magazine, 42, (1978) 533–563.
- [12] Hynes A., "A comparison of amphiboles from medium and lowpressure metabasites", Contributions to Mineralogy and Petrology, 81 (1382) 119-125.
- [13] Hey M.H., "A new review of the chlorites", Mineralogical Magazine, 30 (1954) 277-292.
- [14] Moazzen M., Oberhansli R., Hajialioghli R., Moller A., Bousquet R., Droop G., Jahangiri A., "Peak and post-peak P-T conditions and fluid composition for scapolite-clinopyroxene-garnet calc-silicate rocks from the Takab area, NW Iran", European Journal of Mineralogy, 21 (2009) 149 - 162.
- [15] Bucher K., Frey M., "Petrogenesis of metamorphic rocks. 6th edition", Springer-Verlag, Berlin (1994) 318 pp.
- [16] Ramberg H., "Intergranular precipitation of albite formed by unmixing of alkali feldspar", Neues Jahrbuch für Mineralogie, Abhandlungen, 98 (1962).
- [17] Ashworth J. R., "Myrmekites of exsolution and replacement origins", Geological Magazine, 109 (1972) 45-62.
- [18] Phillips E. R., "On polygenetic myrmekite", Geological Magazine, 117 (1980) 29-36.
- [19] Phillips E. R., "Myrmekite - One hundred years later", Lithos, 7 (1974) 181-194.
- [20] Kretz R., "Symbols for rock-forming minerals", American Mineralogist, 68 (1983) 277-279.
- [21] Trommsdorff V., Schwander H., "Brucitmarmore in den Bergelleralpen", Bulletin Suisse de Mineralogie et Petrographie, 49 (1969) 333-340.
- [22] Powell R., Holland T.J.B., "An internally consistent dataset with uncertainties and correlations: Applications to geobarometry, worked examples and a computer program", *evolution", American Journal of Science, 304* (2004) 1–20.
- [2] Gilg H.A., Boni M., Balassone G., Allen C.R., Banks D., Moore F., "Marble-hosted sulfide ores in the Angouran Zn-(Pb-Ag) deposit, NW Iran: interaction of sedimentary brines with a metamorphic core complex. Mineral Deposita", 41 (2006) 1–16.
- [3] Hajialioghli R., Moazzen M., Droop G.T.R., Oberhansli R., Bousquet R., Jahangiri A., Zieman M., "Serpentine polymorphs and P-T evolution of meta-peridotites and serpentinites in the Takab area, NW Iran", Mineralogical Magazine, 71 (2007) 155–174.
- [4] Moazzen M., Hajialioghli R., "Zircon SHRIMP dating of mafic migmatites from NW Iran; Reporting the oldest rocks from the Iranian crust", 5th Annual Meeting AOGS, Busan, Korea (2008) SE62.
- [5] Hajialioghli R., Moazzen M., Jahangiri A., Oberhansli R., Mocek B., Altenberger U., "Petrogenesis and tectonic evolution of metaluminous sub-alkaline granitoids from the Takab Complex, NW Iran", Geological Magazine. doi: 10.1017/S0016756810000683.
- [6] Stockli D.F., Hassanzadeh J., Stockli L.D., Axen G., Walker J.D., Dewane T.J., "Structural and geochronological evidence for Oligo-Miocene intra-arc low-angle detachment faulting in the Takab-Zanjan area, NW Iran", Abstract, Programs Geological Society of America, 36 (2004) 319.
- [۷] حمدی ب.، "رسوبات پرکامبرین-کامبرین در ایران". هوشمند زاده، ع. (مؤلف) زمین شناسی ایران. سازمان زمین-شناسی ایران، ۲۰، (۱۳۷۴) ۵۳۵ ص.
- [۸] باباخانی ع.، قلماقش ج.، "نقشه زمین شناسی ۱/۱۰۰۰۰۰ تخت سلیمان"، سازمان زمین شناسی ایران (۱۳۷۱).
- [9] Mehrabi B., Yardley B. W. D., Cann J. R., "Sediment-hosted disseminated gold mineralization at Zarshuran, NW Iran", Minerium Deposita, 34 (1999) 673–696.
- [10] Droop G.T.R., "A general equation for estimating Fe^{3+} concentrations in ferromagnesian

- [24] Holland T.J.B., Powell R. "An internally consistent thermodynamic data set for phases of petrological interest", Journal of Metamorphic Geology, 16 (1998) 309-343.
- [25] Spear F.S., "Metamorphic phases equilibria and pressure-temperature-time paths", Mineralogical Society of America, 1 (1993) 799 p.
- Journal of Metamorphic Geology, 6 (1988) 173-204.
- [23] Holland T.J.B., Powell R., "An enlarged and updated internally consistent thermodynamic dataset with uncertainties and correlations: the system $K_2O-Na_2O-CaO-MgO-MnO-FeO-Fe_2O_3-Al_2O_3-TiO_2-SiO_2-C-H-O_2$ ", Journal of Metamorphic Geology, 8 (1990) 89-124.